

パシフィックコンサルタント(株) 正員 野口 均  
信州大学工学部 正員 富井 五郎

1. まえがき 水深の大きい湖は、奥から林にかけてはっきりした成層状態を形成するようになると、この時上下の水塊の混合は起りにくくなり、非成層状態の時期とかけ離れた流動特性を示す。成層状態の流れの三次元数値解析モデルとしては、従来①三次元メッシュを組むモデル、②多層モデルなどが挙げられる。これに対し著者は、連続成層状態に対する流れや密度は鉛直方向に連続であるとき三角関数で展開して解くモデルを提案したが、このモデルは不連続成層(躍層が存在する)に対しては不適当である。そこで本研究は、このモデルと二層モデルを組み合せて不連続成層状態にある閉鎖水域の風成流に対する有限要素法による三次元数値解析モデルを提案するものである。このモデルでは、従来のように各層内での流速を鉛直方向に一元とするのではなく連続分布するとしており、閉鎖水域の風成流が良く起る同一層内での流速分布をも表現できる利点がある。

2. 基礎式とそれらの有限要素法による定式化 上・下層の各々で水温が一定で、層間で水塊の混合がないとした時の風成流の基礎式は<sup>2)</sup>、水压が静水圧分布に従い

$$\text{上層;} \frac{\partial u_i}{\partial t} + u_j \cdot \frac{\partial u_i}{\partial x_j} = -g \frac{\partial z}{\partial x_i} + \frac{\partial}{\partial x_j} (A_j \cdot \frac{\partial u_i}{\partial x_j}) + f_i, \quad \dots \text{①}$$

$$\frac{\partial u_i}{\partial x_j} = 0, \quad \dots \text{②}$$

$$\text{下層;} \frac{\partial u'_i}{\partial t} + u'_j \frac{\partial u'_i}{\partial x_j} = -g \frac{\partial z}{\partial x_i} - g(E-1) \frac{\partial d}{\partial x_i} + \frac{\partial}{\partial x_j} (A'_j \cdot \frac{\partial u'_i}{\partial x_j}) + f'_i, \quad \dots \text{③}$$

$$\frac{\partial u'_i}{\partial x_j} = 0, \quad \dots \text{④}$$

境界条件； 水面  $z=2^* T_2 = A_3 \frac{\partial u_i}{\partial x_3}$ , 水底  $z=-h^* u'_j = 0$   
 内部面  $z=-d^* T_d = f \cdot \left[ \frac{(u_i - u'_i) |u - u'|}{2} \right]_{z=d} \quad \dots \text{⑤}$

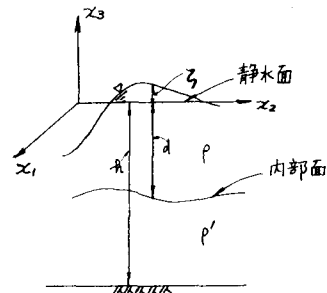


図-1 記号の説明

となる。ここに統一規約を用い  $i=1, 2, j=1, 2, 3, u_i, u'_j$  などは流速成分で  $x_1, x_2, x_3$  の関数。 $A_j, A'_j$  は渦動粘性係数、 $f_i$  はヨリオリ頂点  $x_1$  を東、 $x_2$  を北にとると  $f_1 = u_2, f_2 = -u_1, f_3 = 0$  でせん断応力を密度で除したもの、 $f$  は内部面の抵抗係数である(図-1参照)。ここで内部面のせん断応力の評価において、一般にはそれを上・下層の平均流速を用いている。しかし湖坂などの閉鎖水域を対象とした場合、各層内での順流と逆流が同様度となることが多く平均流速が上・下層とも零となりせん断応力が零かないことにあたる。この矛盾を除くため内部面の上・下面の流速の差を認め、これを用いて上のようくせん断応力を評価している。つぎに近似関数として、水平方向の既存の区分的四項式(NR)と鉛直方向の余弦関数( $\cos B_p(z-3)$ ,  $\cos A_q(z+d)$ )の積である形狀関数を用い流速を近似している。つまり

$$\text{上層;} u_i = NR \cdot \cos B_p(z-3) \cdot u_i, p_k, 3 = NR \cdot Z_K,$$

$$B_p = \frac{p-1}{d} \pi, p=1, 2, \dots, m,$$

$$\text{下層;} u'_i = NR \cdot \cos A_q(z+d) \cdot u'_i, q_k, d = Nr \cdot d_K,$$

$$A_q = \frac{2q-1}{2(n-d)} \pi, q=1, 2, \dots, n,$$

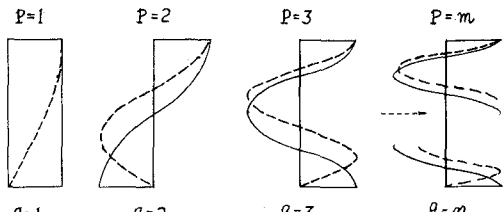


図-2 鉛直方向の形狀関数

(実線  $\cos B_p(z-3)$ , 点線  $\cos A_q(z+d)$ )

(図-2参照)、 $n=1 m, m$  は流速展開項数、 $K$  は

本研究では三角形一次要素のものを用いるので、三角形の頂点である。つきに(3)式には  $NR \cdot \cos B_p(z-3)$ , (4)式には  $NR \cdot \cos A_g(z+d)$ , さらに(2), (4)式をそれぞれ  $-d \sim 3$ ,  $-h \sim -d$  の区間に各方向に積分して  $U_3, U_3'$  を消去した式には  $NR$  を重み関数としてかけ各要素内で積分すると、有限要素法により定式化した式が得られる。しかしここでは計算の都合上省略する。さらに数値計算例では非常計算を行なつてあるが、時間積分法としては two-step Lax-Wendroff 法を用いている。

### 3. 数値計算例と考察

本研究の方法の妥当性を検討するため、計算例として解析解の得られる条件の单純な問題をとりあげる。対象とする解析例は幅  $100m$ , 長さ  $L = 2000m$ , 水深  $h = 5.0m$ , 内部面の水深  $d = 2.5m$  で静止状態にある閉水路に突然  $3.0\text{ m/sec}$  の長さ方向の風が連続して吹く場合である。ここで節点を全2岸にとり、その流速の境界条件をスリップとする流れは水平、鉛直の二次元流れとはい、上・下層の密度比を  $\epsilon = 0.9$  とするとき基礎式が簡単に取り解かれて得られることがわかる。節点数42, 要素数40, 時間刻み  $\Delta t = 5\text{ sec}$ ,  $A_3 = A_3' = 2.83 \text{ cm}^2/\text{sec}$ , 風による  $T = 0.13 \text{ cm}^2/\text{sec}^2$ , 水平漏れ係数  $m$  と慣性項を零と置いた結果を図-3, 4 に示す。ここで図-3 の定常解は、長さ方向に x 軸をとり上の条件を入れた(1)式  $-g \cdot \partial z / \partial x + \partial(A_3 \cdot \partial u_1 / \partial x_3) / \partial x_3 = 0$  と(3)式  $-g \cdot \partial z / \partial x - g(z-1) \cdot \partial d / \partial x_1 + \partial(A_3' \cdot \partial u_1 / \partial x_3) / \partial x_3 = 0$  および連続式  $\int_h u_1 \cdot dz = 0$ ,  $\int_h u_1' \cdot dz = 0$  に(5)式を用いて解析的に解いた解であり、また図-4 の定常解も同様にして得た。さらにこの解析例のセイシックの周期は、各層で流速を鉛直方向に一定とすと(1)~(4)式は  $\partial u_1 / \partial t + g \cdot \partial z / \partial x_1 = 0, \partial(z+d) / \partial t + d \cdot \partial u_1 / \partial x_1 = 0, \partial u_1' / \partial t + g(z-1) \cdot \partial z / \partial x_1 + g(z-1) \cdot \partial d / \partial x_1 = 0, -2g / \partial t + (h-d) \cdot \partial u_1 / \partial x_1 = 0$  となり、これより基礎の波速  $C = \sqrt{gh} \cdot ((1 \pm (1-4(h-d)d)(1-\epsilon)/h^2)^{1/2})^{1/2}$  で、 $\pm$  一モードで  $2\pi/C = 579\text{ sec}, 3570\text{ sec}$  を取る。図-3 より流れは時間とともに発達し  $8000\text{ sec}$  では一部を除き、ほぼ定常解(解析解)に近い値を示してある。なお水面附近の差は  $m=4$  としたため、 $m$  をもうと大きくすることにより小さくなる。また  $t=0.01$  の場合は計算しても、内部面上下に大きな流速差があり、下層にはほとんど流れがない結果が得られた。また図-4 より、水面と内部面は定常解を中心にして振動しており、その周期は上の解析解で示したオーモードの周期に近い値を示している。以上より本研究のモデルはほぼ妥当なものと考える。今後は、 $f$  の値、斜面の取扱いなどを検討し、実在の湖沼への適用を計りたい。

参考文献 1) 富野、流れの有限要素法解析シンポジウム、日刊機械、(1982). 2) 野口、信州大学修士論文、(1982).

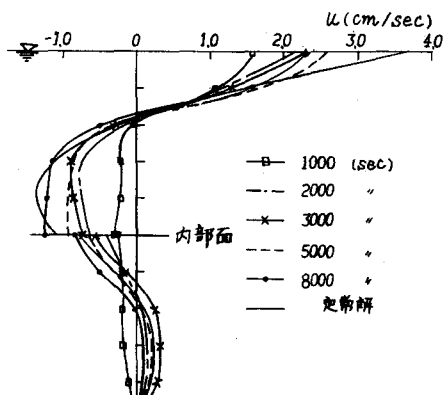


図-3 流速分布 ( $f=1.0$ )

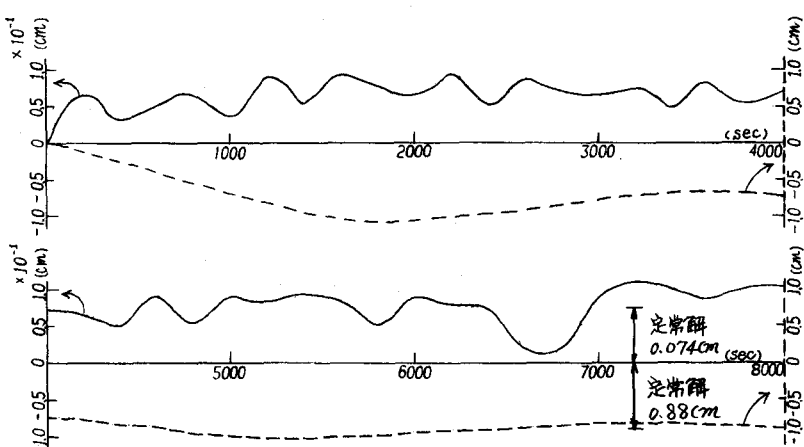


図-4 風下側の岸の水面(実線)と内部面(点線)の変化 ( $f=1.0$ )